# Nuklearmedizin Funktionsdiagnostik

Herausgegeben von

### **Dieter Emrich**

123 Abbildungen, 64 Tabellen



Georg Thieme Verlag Stuttgart Bearbeitet von

K.-H. Bremer, Frankfurt/M.

D. Emrich, Göttingen

U. Feine, Tübingen

H. Frerichs, Göttingen

W. Gelbke, Göttingen

H. Heimpel, Ulm

R.-D. Hesch, Göttingen

P. Hilpert, Tübingen

G. Hör, München

G. Hoffmann, Freiburg

H. J. Karl, München

N. Kleine, Freiburg

G. Kloss, Frankfurt/M.

H. Koblet, Zürich

A. v. zur Mühlen, Göttingen

E. Oberhausen, Homburg

H.W. Pabst, München

P. Pfannenstiel, Wiesbaden

W. Schoeppe, Frankfurt/M.

C. G. Winkler, Bonn

F. Wolf, Erlangen

## Nuklearmedizin Funktionsdiagnostik

#### Herausgegeben von

#### Dieter Emrich

Bearbeitet von

K.-H. Bremer, Frankfurt/M.

D. Emrich, Göttingen

U. Feine, Tübingen

H. Frerichs, Göttingen

W. Gelbke, Göttingen

H. Heimpel, Ulm

R.-D. Hesch, Göttingen

P. Hilpert, Tübingen

G. Hör, München

G. Hoffmann, Freiburg

H. J. Karl, München

123 Abbildungen, 64 Tabellen N. Kleine, Freiburg

G. Kloss, Frankfurt/M.

H. Koblet, Zürich

A. v. zur Mühlen, Göttingen

E. Oberhausen, Homburg

H.W. Pabst, München

P. Pfannenstiel, Wiesbaden

W. Schoeppe, Frankfurt/M.

C. G. Winkler, Bonn

F. Wolf, Erlangen

Georg Thieme Verlag Stuttgart

Diejenigen Bezeichnungen, die zugleich eingetragene Warenzeichen sind, wurden nicht besonders kenntlich gemacht. Es kann also aus der Bezeichnung einer Ware mit dem für diese eingetragenen Warenzeichen nicht geschlossen werden, daß die Bezeichnung ein freier Warenname ist. Ebensowenig ist zu entnehmen, ob Patente oder Gebrauchsmuster vorliegen.

Alle Rechte, insbesondere das Recht der Vervielfältigung und Verbreitung sowie der Übersetzung vorbehalten. Kein Teil des Werkes darf in irgendeiner Form (durch Photokopie, Mikrofilm oder ein anderes Verfahren) ohne schriftliche Genehmigung des Verlages reproduziert oder unter Verwendung elektronischer Systeme verarbeitet, vervielfältigt oder verbreitet werden. © Georg Thieme Verlag, Stuttgart, 1971 – Printed in Germany. Satz und Druck: Paul Christian KG, 724 Horb a. N.

ISBN 3134619016

#### Mitarbeiterverzeichnis

#### Herausgeber

Emrich, D., Prof. Dr. med., Leiter der Nuklearmedizinischen Abteilung der Medizinischen und Radiologischen Klinik der Universität Göttingen

#### Mitarbeiter

- Bremer, K.-H., Dr. rer. nat., Radiochemisches Laboratorium der Farbwerke Hoechst AG, Frankfurt-Höchst
- Feine, U., Prof. Dr. med., Leiter der Nuklearmedizinischen Abteilung des Medizinischen Strahleninstitutes der Universität Tübingen
- Frerichs, H., Priv.-Doz. Dr. med., Oberarzt der Medizinischen Klinik und Poliklinik der Universität Göttingen
- Gelbke, W., Dr. rer. nat., Leiter des Zentralen Isotopenlaboratoriums der Universität Göttingen
- HEIMPEL, H., Prof. Dr. med., Leiter der Abteilung für Hämatologie und Gerinnungsforschung am Zentrum für Innere Medizin der Universität Ulm
- Hesch, R.-D., Dr. med., Nuklearmedizinische Abteilung der Medizinischen und Radiologischen Klinik der Universität Göttingen
- HILPERT, P., Priv.-Doz. Dr. med., Medizinische Klinik der Universität Tübingen
- Hör, G., Priv.-Doz. Dr. med., Leitender Oberarzt der Nuklearmedizinischen Klinik und Poliklinik rechts der Isar der Technischen Universität München
- HOFFMANN, G., Prof. Dr. med., Leiter der Abteilung für klinische Nuklearmedizin der Medizinischen Klinik der Universität Freiburg
- KARL, H.J., Prof. Dr. med., Leitender Oberarzt der I. Medizinischen Klinik der Universität München
- KLEINE, N., Prof. Dr. rer. nat., Medizinische Klinik der Universität Freiburg
- KLoss, G., Dr. med., Radiochemisches Laboratorium der Farbwerke Hoechst AG, Frankfurt-Höchst
- Koblet, H., Priv.-Doz. Dr. med., Institut für Medizinische Mikrobiologie, Abteilung Virologie der Universität Zürich
- von zur Mühlen, A., Dr. med., Leiter der Arbeitsgruppe Endokrinologie der Medizinischen Klinik und Poliklinik der Universität Göttingen
- OBERHAUSEN, E., Prof. Dr. rer. nat. Dr. med., Leiter der Abteilung für Nuklearmedizin und medizinische Physik am Institut für Biophysik (Boris-Rajewsky-Institut) der Universität des Saarlandes, Homburg/Saar
- Paßer, H.W., Prof. Dr. med., Direktor der Nuklearmedizinischen Klinik und Poliklinik rechts der Isar der Technischen Universität München
- PFANNENSTIEL, P., Priv.-Doz. Dr. med., Sektion Nuklearmedizin der Deutschen Klinik für Diagnostik, Wiesbaden
- Schoeppe, W., Priv.-Doz. Dr. med., Oberarzt der Abteilung für Nephrologie am Zentrum für Innere Medizin der Universität Frankfurt/Main
- Winkler, C.G., Prof. Dr. med., Leiter der Nuklearmedizinischen Abteilung der Chirurgischen Klinik der Universität Bonn
- Wolf, F., Prof. Dr. med., Leiter der Nuklearmedizinischen Abteilung der Medizinischen Klinik und Poliklinik der Universität Erlangen-Nürnberg, Erlangen

#### Vorwort

Ein wesentliches Charakteristikum biologischer Vorgänge ist ihre Dynamik. Ein entscheidendes Ziel der klinischen Diagnostik ist es, die Störungen dieser Dynamik quantitativ zu erfassen. Dabei sollen die Belastung für den Patienten und der Aufwand für den Untersucher möglichst gering sein. Der Einsatz offener Radionuklide in der klinischen Funktionsdiagnostik hat uns der Erfüllung dieser Forderungen näher gebracht, seitdem Georg von Hevesy in den dreißiger Jahren ihre Bedeutung für die Biologie erkannte und dafür mit dem Nobelpreis ausgezeichnet wurde. Die Gewinnung künstlicher Radionuklide und die Elektronik haben in den letzten 20 Jahren große Fortschritte gemacht und damit die technischen Voraussetzungen für die Entwicklung der Nuklearmedizin geschaffen, deren jährliche Wachstumsrate mit etwa 25% angenommen werden darf.

Wie in kaum einem anderen Teilgebiet der Medizin treffen in der Nuklearmedizin Inhalt und Interesse naturwissenschaftlicher, technischer, physiologischer und klinischer Fächer zusammen. Sie ist deshalb im besonderen Maße auf Kooperation angewiesen. Das Ausmaß dieser Zusammenarbeit bestimmt die Entwicklung der Nuklearmedizin und ihre Effektivität.

Die theoretischen und methodischen Vorbedingungen machen es dem am Krankenbett tätigen Arzt häufig noch schwer, Möglichkeiten und Grenzen der nuklearmedizinischen Funktionsdiagnostik zu beurteilen. Eine hierfür notwendige Informationsquelle, die den letzten 10 Jahren Rechnung trägt, fehlte bisher im deutschen Sprachraum. Das Bewußtsein, daß im Rahmen der schnellen Entfaltung des Faches kaum ein Einzelner in der Lage sein dürfte, dieses Gebiet ausreichend darzustellen, hat den Herausgeber veranlaßt, mit einem Kreis

von Autoren einen solchen Versuch zu unternehmen. Das Buch wendet sich sowohl an direkt in der Nuklearmedizin Tätige als auch an alle, die sich über Fragen der klinischen Funktionsdiagnostik mit Radionukliden unterrichten wollen. Es gliedert sich in einen allgemeinen Teil, in dem die physikalischen, chemischen und biologischen Grundlagen der Nuklearmedizin zusammenfassend dargestellt werden. Ihm folgt ein spezieller Teil, in dem, getrennt nach Organsystemen, Methodik und Ergebnisse abgehandelt werden. Obwohl die Autoren ihren Stoff beschränkten, war eine strenge Trennung zwischen routinemäßiger Anwendung und klinischer Forschung sowie zwischen sicherer und möglicher Aussage nicht immer gegeben. Auch schienen Hinweise auf Zukünftiges im Hinblick auf die schnelle Progredienz des Faches sinnvoll. Das Buch tritt dem im gleichen Verlag erschienenen Werk über die "Szintigraphische Diagnostik" von FEINE und ZUM WINKEL an die Seite.

Der Herausgeber hat seinen Mitautoren zu danken, denn ohne ihre Mitarbeit wäre es in dieser Form nicht möglich gewesen. Sein Dank gilt ferner den Herren Priv.-Doz. Dr. P. HEIMBURG und Prof. Dr. F. Scheler, Göttingen, für die Unterstützung bei der Durchsicht einzelner Manuskripte und den zuständigen Mitarbeitern des Georg Thieme Verlags.

Gewidmet ist es dem Andenken an Ludwig Heilmeyer, einem der ersten in Deutschland, der die Bedeutung der Nuklearmedizin für die Klinik erkannte, sie nutzte und förderte. So ist es kein Zufall, daß eine Reihe der Autoren ehemalige Mitarbeiter seiner Klinik sind.

Göttingen, im September 1970

DIETER EMRICH

## Inhaltsverzeichnis

Vorwort	V	Fehler von Impulssummen und -raten Fehler des Ratemeters	3.3
ALLGEMEINER TEIL		Integrierendes Ratemeter	34
Radioaktivität und Strahlennachweis		Statistischer Fehler des Ratemeter- ausschlags	34
Von W. Gelbke		Verzögerung und Verformung von Rate- meterkurven	30
Die Kernstrahlung	1	meterkurven	50
Nuklide und Isotope	1	Radiopharmaka	
Arten der Kernstrahlung	2		
Gesetz des radioaktiven Zerfalls	5	Von KH. Bremer und G. Kloss	
Strahlung und Materie	6	Auswahlkriterien	38
Detektoren	9	Physikalische Eigenschaften der Radio-	38
Zählrohre	9	nuklide	38
Szintillationszähler	11	Strahlenenergie	38
Flüssigkeitsszintillationszähler	12	Halbwertszeit	39
Halbleiterdetektor	12	Biologisches Verhalten	39
Praktische Hinweise	13	Chemische Verbindungsform	39
Detektorkennlinien	13	Y.Y *1	39
Szintillationszähler	14	Toxizität	40
Wirkungsgrad	15		
Spektrometrie	16	Herstellung	40
Leerwerte	17	Gewinnung radioaktiver Nuklide	40
Rauschimpulse	17	Kernumwandlungen	40
Sonstige Störimpulse	18	Aktivierung im Reaktor	41
Detektorformen und -anordnungen	19	Aktivierung im Zyklotron	41
Kollimatoren	20	Aufarbeitung von Bestrahlungsproben.	42
Meßgeräte	21	Reinheitskriterien für Radionuklide	42
Spannungs- und Stromversorgung	21	Markierung der Präparate	43
Verstärker	22	Chemische Umsetzungen	43
Prüfimpulsgenerator	22	Biosynthese	43
Impulsformer	22	Spezielle Methoden	43
Schaltuhr	22	diagnostil-	44
Impulssummenanzeige	23	diagnostik	44
Koinzidenz-Antikoinzidenz-Stufe	23	Jodpräparate	45
Ratemeter	23	Kolloidales Gold	45
Digitales Ratemeter	23	Chrompräparate	45
Integrierendes Ratemeter	23	Gase	45
Diskriminator	24	Biosynthetisch hergestellte Präparate .	46
Totzeitregler	26	Betastrahler	46
Praktische Hinweise	26	Nuklidgeneratoren	46
Impulssummenanzeige	27	Grundlagen	46
Diskriminatoranwendung	27	Spezielle Generatorsysteme	48
Aktivitätsmessung bei γ-Doppel-			
markierung	28	Qualitätskontrolle	49
Geometriefaktor	29	Stabilität	49
Funktionsdiagnostische Meßplätze	29	Stabilität	50
Meßgenauigkeit und Fehlerrechnung	30	Biologische Qualitätsmerkmale	51
Absolute und relative Aktivitätsmessung .	30	Sterilität	51 51
Fehlerrechnung	31	Verträglichkeit und Eignung im Tier-	21
Poisson- und Gauss-Verteilung	31	versuch	50
The state of the s	47.4	PRODUCE FOR	52

Begriffe und Modelle der Radionuklid- Kinetik		Elektronische Datenverarbeitung in der nuklearmedizinischen Funktions-	
Von H. Koblet		diagnostik	
Aussagemöglichkeiten	53 54 54 55	Von C.G. Winkler  Historische Entwicklung der maschinellen Datenverarbeitung	82
Begriffe und Definitionen  Verteilungsraum  Kompartiment  Austauschbarer Pool  Transfer und Transfergeschwindigkeit (Fließgleichgewicht)	55 55 57 57	Rechner	82 84 85 94 97
Umsatz und Umsatzgeschwindigkeit Absolute und relative Umsatzgeschwindigkeit	58 59 59 59	SPEZIELLER TEIL Hämatologie	
Mittelbarer und unmittelbarer Vorläufer Isotopenverdünnung Totale Clearance Metabolic clearance rate	59 60 60 61	Von H. HEIMPEL  Allgemeine kinetische Aspekte der hämopoetischen Zellerneuerungssysteme	99
Die mathematische Grundformel	61 62 62	Erythrozytäres System	100
Zweck von Modellen Grundlagen und Formulierung von Modellen Deduktive Modelle Induktive Modelle	62 62 62 65	Physiologische und pathophysiologische Voraussetzungen	100 102 102 102 103
Anwendungs- und Gültigkeitsbereich von Modellen	68	Ferrokinetik in einzelnen Organen . Interpretation ferrokinetischer Unter-	105
Systematik der Modelle Steady-State-Systeme Geschlossene Einkammersysteme Offene Einkammersysteme Offene Zweikammer- und Zweipool-	68 68 68	suchungen	106 107 107 108
Systeme	69 71 71	Sideroachrestische Anämien Hämolytische Anämien Eisenmangel Polyzythämie und Polyglobulie Extramedulläre Erythropoese	108 109 110 110 110
Dosimetrie und biologische Strahlenwirkungen		Andere Erkrankungen Eisenbindungskapazität	111 111
Von D. Emrich und P. Pfannenstiel		Voraussetzungen	111
Dosisbegriffe	73 74 75	Methodik	112 112 113
Radiochemische Gesichtspunkte Protrahierte Dosisleistung	76 76 77 78	Voraussetzungen	113 113 116 117
Zur Frage der Kanzerogenese Genetische Wirkungen. Konsequenzen für die Praxis	78 79 80	Klinische Bedeutung und Ergebnisse . Anämie Polyzythämie und Polyglobulie Splenomegalie	117 118 118 118

In	haltsve	rzeichnis	IX
Erythrozytenlebenszeit Physiologische und pathophysiologische Voraussetzungen 51Cr-Methode DF32P-Methode Auswertung Klinische Bedeutung und Ergebnisse Lokalisation der Erythrozytendestruktion Physiologische und pathophysiologische Voraussetzungen Nuklearmedizinische Voraussetzungen Methodik Berechnung Klinische Bedeutung und Ergebnisse Simultane Anwendung von 51Cr und 59Fe Klinische Indikationen der verschiedenen Untersuchungsverfahren Thrombozytäres System Bestimmung der Thrombozytenlebenszeit Physiologische und pathophysiologische Voraussetzungen 51Cr-Methode DF32P-Methode Auswertung Klinische Bedeutung und Ergebnisse Lokalisation der Thrombozyten- sequestration Leukozytäres System  Grundlagen des radioimmunchemische Hormonnachweises	118 118 120 122 123 125 127 127 127 127 128 129 130 131 132 132 133 135 135 136 136	Methodik und Ergebnisse  Kinetischer Parameter  Geschwindigkeit der Radiojodaufnahme ("Jodidphase")  Geschwindigkeit der Radiojodabgabe ("Hormonphase")  Verteilung und Umsatz radiojodmarkierter Jodaminosäuren  Belastungstests  Statische Parameter  T3-Test  Thyroxinbestimmung im Plasma  Nachweis stimulierender Substanzen  Klinische Anwendung  Euthyreote Struma  Hyperthyreose  Hypothyreote Zustände  Thyreoiditis  Struma maligna  Strahlenexposition  Steroidstoffwechsel  Von H. J. Karl  Zur Physiologie des Steroidhormonstoffwechsels  Markierte Steroide  Verabreichung radioaktiver Steroide  Isolierung und Bestimmung von Steroiden	156 156 158 160 162 165 167 168 170 171 171 172 174 174 174
Von A. von zur Mühlen  Prinzip der radioimmunchemischen Reaktion Gewinnung von Antikörpern gegen Proteo- hormone  Markierung von Proteohormonen  Die radioimmunchemische Reaktion  Auswertung der Meßergebnisse  Anwendung des radioimmunchemischen  Hormonnachweises	138 139 140 142 144	Bindung von Steroiden an Plasmaproteine . Schwundrate und biologische Halbwertszeit von Steroiden	180 181 181 182 184 186
	140	Von H. Frerichs	
Jodstoffwechsel Von D. Emrich Physiologie und Biochemie des Jodstoffwechsels Jodresorption und thyreoidale Jodanreicherung Inkretion und Transport Abbau und Ausscheidung Regulation Woraussetzungen für nuklearmedizinische Untersuchungen Radioaktive Isotope und markierte Verbindungen Meßmethoden Die Bedeutung der Radiojodstoffwechselkinetik für klinische Funktionsuntersuchungen	148 148 150 151 151 152 152 153	Morphologie und Physiologie der Langerhans-Inseln Methodik der Seruminsulinbestimmung Biologische Nachweisverfahren Radioimmunchemische Insulinbestimmung Klinische Bedeutung Insulin im Nüchternserum Seruminsulin nach Belastung mit Glukose Seruminsulin nach Injektion von Glukagon, Aminosäuren oder Sulfonylharnstoff- derivaten Insulin in Liquor und Urin. Insulin- clearance Klinische Bedeutung der immunchemischen Bestimmung von Glukagon Bestimmung insulinbindender Serumanti- körper	187 189 189 191 194 194 197 198 198

Kardiologie und Angiologie		Elektrolyte, besonders Kalium und	0.4
Von G. Hoffmann und N. Kleine		Calcium	24
Methoden in der Kardiologie	201 201 206 209	Markierte Leitsubstanzen als Hilfsmittel bei Bilanzuntersuchungen und chemi- schen Sekretionsanalysen Untersuchung der Exsudation	240
Methoden zur Messung der Durchblutung Organdurchblutung	210 210	Eiweißausscheidung	248
Periphere Durchblutung	210 213	Untersuchungen der Leber	249 249 250 250
Pneumologie		Clearancemethoden	250
Von U. FEINE und P. HILPERT		Weitere Untersuchungsverfahren zur Beurteilung der enteroportalen Durch-	5000
Physiologische Grundlagen	214	blutungsverhältnisse	253
Radiopharmaka	218 218	Untersuchung der exkretorischen Leber- funktion	255
Radioaktive Gase	220	Weitere Untersuchungsmethoden in der	
Methodik	220 220	Gastroenterologie	258
Verteilung der Ventilation	220	Wasser- und Elektrolythaushalt	
Verteilung der Perfusion	224	Von W. SCHOEPPE	
Untersuchungen mit der Szintillations- kamera	226	unter Mitarbeit von RD. Hesch	
Methoden mit radioaktiv markierten Par-		Körperwasser	261
tikeln	230	Extrazelluläres Wasser	262
Perfusionsszintigraphie	230 233	Natrium	264
Inhalationsszintigraphie	233	Bestimmung des Gesamtkörperkaliums mit	200
Schlußbetrachtung	234	86Rubidium	266
		Calcium	269
Gastroenterologie		Bestimmung der Calciumabsorption Sekretion und Exkretion von Calcium im	269
Von F. Wolf		Darm	270 270
Nuklearmedizinische Voraussetzungen	235	Magnesium	272
Radiopharmaka	235	Beziehungen zwischen Elektrolyten und	
Apparative Ausrüstung	235	Körperkompartimenten	272
Untersuchungen der Resorption und	226	Nanhadasia	
Exsudation	236	Nephrologie	
Bemerkungen	236	Von H.W. Pabst und G. Hör	
Methodik und Ergebnisse	237	Nephrographie mit Radioisotopen	275
Allgemeine Methodik	237 238	Physiologische und pathophysiologische Voraussetzungen; Auswertung	275
Blut- oder Plasmaaktivitätsmessung	239	Methodik	279
Doppelmarkierung	239	Nuklearmedizinische Voraussetzungen .	279
Untersuchung von Stuhleinzelproben .	239	Radiopharmaka	279
Ganzkörperzähler	239	Prinzipien der Meßmethodik	280
Exhalationsmessung	240	Vorbereitung des Patienten und	281
Anwendung kinetischer Analog- oder Digitalmodelle	240	technische Durchführung	282
Spezielle Methodik	240	Variationsmöglichkeiten	282
Untersuchung der Resorption	240	Klinische Anwendung	283
Eisen und Schwermetalle	240	Vorwiegend einseitige Nierenerkran-	
Fette	241	kungen	283
Eiweiß und Aminosäuren	243 244	Vorwiegend doppelseitige Nieren-	286
Editerity drate	211	erkrankungen	200

Extrarenal bedingte Nierenfunktions- störungen	287	Derzeitiger klinisch-diagnostischer Wert der indirekten Totalclearance Vergleich zwischen Standard-Inulin-	308
graphie mit anderen nuklearmedizini- schen Methoden zur Nierenfunktions- untersuchung	287	Clearance und indirekter <sup>131</sup> J-Inulin- clearance	308
graphie im Vergleich und zur Ergänzung radiologischer und klinischer Unter-	288	selektiven, quantitativen Bestimmung der Nierendurchblutung	310
suchungsmethoden	200	Physiologische und pathophysiologische Voraussetzungen	310
in der Pädiatrie	289 292	Technik und Berechnung der renalen  133 Xe-Clearance	311
Strahlenexposition	293	Andere Methoden zur Bestimmung der Nierendurchblutung bzw. deren Seiten-	512
Clearancebestimmung mit Radionukliden Einzeit-Clearance	293 293	differenzen	312 312
Bemerkungen	293 295	Die Verwendung von Ganzkörperzähle	ern
Nuklearmedizinische Voraussetzungen . Radiopharmaka	296 296	Von E. Oberhausen	
modifizierte Techniken	298	Aufbau von Ganzkörperzählern Detektoren	313
in der Klinik	298 298	Abschirmung	314 315
Renale Clearancebestimmungen Physiologische und pathophysiologische	298	Meßgeometrien und Klassifizierung von Ganzkörperzählern	315
Bemerkungen	300	Anwendung von Ganzkörperzählern	317
Radiopharmaka	300	Retentionsmessungen	317
Klinische Anwendungsmöglichkeiten und Begrenzungen	303	tigen Elektrolyten und von Verteilungs- räumen	318
Vergleich mit Standard-Clearance- Verfahren	303	Messungen bei Abschirmung verschiedener Organbereiche	321
Anwendungsmöglichkeiten bei tubulären Störungen	306	Bestimmung des Umsatzes der Schild- drüsenhormone und des extrathyreoi-	
Anwendungsmöglichkeiten bei glomerulären Störungen	306	dalen <sup>131</sup> J	322 323
Vorteile und limitierende Faktoren . Indirekte Clearance unter Infusions-	306	ANHANG	
Physiologische und pathophysiologische	307	Kernphysikalische Daten, Tabellen	325
Bemerkungen	307 307		
Radiopharmaka	308 308	Literaturverzeichnis	339

#### Radioaktivität und Strahlennachweis

Von W. Gelbke

#### Die Kernstrahlung

Die Radioaktivität, ob natürlichen Ursprungs oder durch Beschuß mit energiereichen Partikeln künstlich erzeugt, besteht in einer selbständigen Umwandlung der Atomkerne, nämlich dem Übergang von einem labilen bzw. angeregten in einen stabilen Grundzustand, der zumeist von der Emission einer Strahlung begleitet ist. Diese kann aus geladenen materiellen Elementarteilchen ( $\alpha = \text{Heliumkernen}, \beta = \text{Elek-}$ tronen,  $\beta^+$  = Positronen) oder elektromagnetischen Quanten (y-Strahlung) bestehen, zumeist einer Kombination von beidem. Jeder radioaktive Kern kann diesen Vorgang, den man unzutreffend als "Zerfall" bezeichnet, nur einmal durchmachen. Der Zeitpunkt läßt sich nicht vorhersagen, doch bei einer großen Zahl gleichartiger Kerne verläuft der Prozeß nach einer statistischen Gesetzmäßigkeit: für jede Kernart (Nuklid) bleibt der Prozentsatz der in gleichlangen Intervallen "zerfallenden" Kerne gleich, was man unter Verwendung des Begriffes Halbwertszeit (T1/2) besondersanschaulich beschreiben kann (S. 5). Es gibt auch radioaktive Nuklide, bei denen sich der Übergang zu einem stabilen Kern über einen oder mehrere Zwischenkerne vollzieht, deren jeder eigene Strahlungseigenschaften und eine eigene T 1/2 hat.

Die Strahlungen durchdringen Materie sehr unterschiedlich gut (S. 4). Aus ihrer Fähigkeit, sie zu ionisieren, in geeignete Stoffen (Szintillatoren) Luminiszenz auszulösen und photographische Emulsionen zu schwärzen, ergeben sich Möglichkeiten, sie quantitativ oder bildhaft nachzuweisen.

#### Nuklide und Isotope

Die Masse jedes Atoms ist in seinem Kern konzentriert. Er besteht aus Protonen (Wasserstoffkernen  ${}^{1}_{1}p = {}^{1}_{1}H$ ) und Neutronen  $({}^{1}_{0}n)$ , die praktisch gleiche Massen haben (1,67 × 10-24g = Atommasse ,,1" = 1/12 des Kohlenstoffkernes 126C). Die Ordnungszahl Z eines Elementes im Periodischen System ist mit der Zahl der Protonen im Kern identisch. Unterschiede der Kernmasse M rühren von einer ungleichen Zahl der Kernneutronen N her; stets gilt: M = Z + N. Kerne desselben Elementes aber verschiedener Masse bzw. Neutronenzahl heißen Isotope, da sie "am gleichen Ort" (des Periodischen Systems) stehen. Als Nuklide bezeichnet man die Gesamtheit der Isotope aller Elemente. Jedes Element bis zur Ordnungszahl 83 (Bi) hat ein oder mehrere stabile und außerdem noch eine Anzahl instabiler d.h. radioaktiver Isotope. Reinelemente (z.B. Be, F, Na) besitzen nur 1 stabiles, die anderen Elemente mehrere stabile Isotope, welche in einem konstanten Mischungsverhältnis vorliegen und zu den von der Ganzzahligkeit abweichenden Atommassen (Atomgewichten) führen.

Heute sind 105 chemische Elemente bekannt. Darauf verteilen sich 241 stabile und 1359 radioaktive, zusammen 1600 Nuklide. Eine praktische Übersicht vermittelt das Nuklid-Schema (Abb. 1), (Ordinate: Protonen- oder Ordnungszahl Z, Abszisse: Neutronenzahl N).

Isotope Z = const. stehen hier in horizontaler Folge nebeneinander. Sie unterscheiden sich nur durch die Zahl der Kernneutronen.

Isotone N = const. stehen vertikal übereinander. Sie enthalten jeweils gleich viele Kernneutronen, doch ungleich viel Kernprotonen.

Isobare

Kerne gleicher Masse; hier N + Z = const. durch Geraden verbunden, die 45 Grad nach links oben verlaufen ( $\beta$ - u.  $\beta$ +-Strahler).

1 Emrich, Nuklearmedizin

Isodiaphere

Kerne, bei denen die Differenz  $N - \hat{Z} = const.$  aus Neutronen- und Protonenzahl gleich bleibt; durch Geraden verbunden, die 45 Grad nach rechts oben verlaufen (a-Strah-

Isomere N = const.Z = const.

Kerne unveränderter Neutronenund Protonenzahl, die sich durch den energetischen "Anregungszustand" unterscheiden; Emission von y-Quanten führt zum Grundzustand (in der Nuklidtabelle auf geteilten Feldern erfaßbar).

Die Nuklide füllen ein zusammenhängendes Gebiet von Punkten, das mit der Winkelhalbierenden zwischen Z- und N-Achse ansteigt, sich aber zunehmend der letzteren zuneigt und verbreitert. Der zentrale Bereich der stabilen Nuklide (schwarze Punkte) wird von 2 Bereichen radioaktiver Nuklide eingerahmt. Oberhalb stehen Radionuklide mit Protonen-, unterhalb solche mit Neutronenüberschuß. Beide haben die Tendenz, sich in stabile Nuklide umzuwandeln. Das geschieht meist durch Emission von Kernbestandteilen (radioaktive Strahlung), gelegentlich durch Aufnahme von Hüllenelektronen in den Kern (S. 4). Der mit steigender Ordnungszahl zunehmende Neutronenüberschuß ist zur Aufrechterhaltung der Kernstabilität notwendig. Wird z.B. ein schwerer Kern gespalten, so entstehen Spaltprodukte, die einen hohen Neutronenüberschuß gegenüber ihren stabilen Isotopen haben. Er wird durch Emission von β-Teilchen ausgeglichen. Freigesetzte Neutronen können dann Anlaß zu neuen Kernspaltungen geben bzw. eine Kettenreaktion einleiten.

#### Arten der Kernstrahlung

Man unterscheidet Korpuskularstrahlen und elektromagnetische Strahlen. Zu den ersteren gehören:

α -Strahlen bestehend aus He<sup>++</sup>-Ionen (Z = 2, N = 2) bestehend aus Elektronen (Negatronen) β+-Strahlen bestehend aus Positronen,

zu den zweiten gehören:

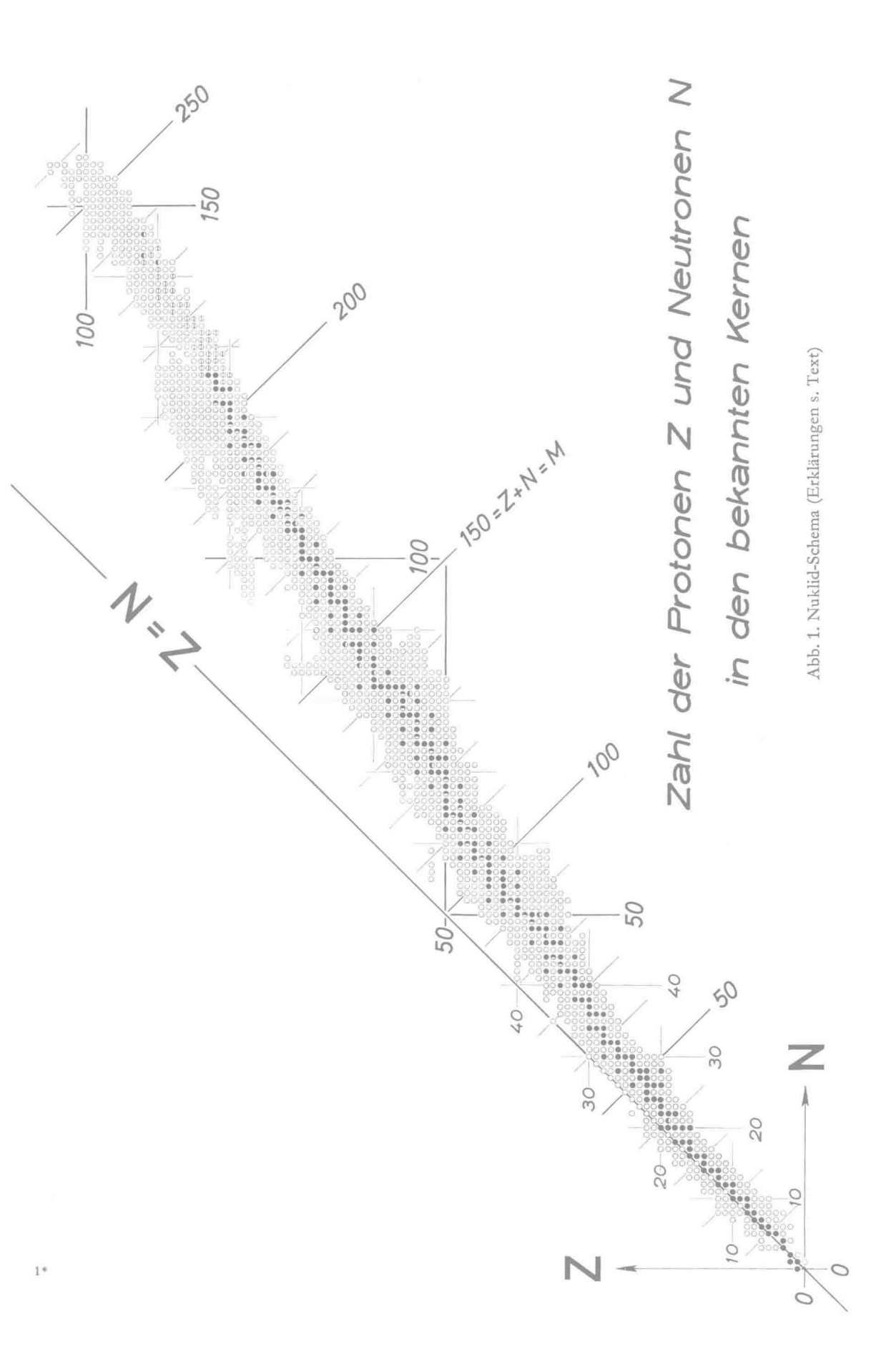
y-Strahlen bestehend aus elektromagnetischen Quanten.

Korpuskularstrahlung wird durch elektrische und magnetische Felder abgelenkt, durchdringt daher Materie weit schlechter als y-Strahlung. Zur Kennzeichnung beider Strahlungsarten wurde ein Energiemaß eingeführt: bei Korpuskularstrahlung wird das Produkt aus der Ladung der Teilchen d.h. Zahl der Elementarladungen (e) und derjenigen Spannung (V) angegeben, die notwendig wäre, um sie bis zur Ruhe abzubremsen bzw. anfangs ruhende Teilchen auf eben diesen Energiezustand zu beschleunigen. So kommt die Einheit Elektronen-Volt (eV) zustande, die den Energieinhalt jedes Teilchens angibt. Vielfache hiervon heißen  $keV = 10^3 eV$ ,  $MeV = 10^6 eV$ ,  $GeV = 10^9 eV$ . Die Energie elektromagnetischer Strahlung kann ebenso ausgedrückt werden, da eine totale Energieumsetzung von einem Elektron in ein Quant und umgekehrt möglich ist (Röntgenstrahlung bzw. Photoeffekt).

Geladene Teilchen werden beim Eindringen in Materie durch die elektrischen Felder der Atome bis zur Ruhe bzw. Reaktion mit anderen Partikeln abgebremst. Man findet daher eine maximale Reichweite. Die Intensität elektromagnetischer Strahlung nimmt dagegen mit zunehmender Absorberdicke nach einer e-Funktion ab. Zur Kennzeichnung des Durchdringungsvermögens (Härte) kann man die Halbwertsdicke verwenden, d.h. diejenige Materialdicke, die die Strahlungsintensität auf die Hälfte ihres anfänglichen Wertes verringert. Die maximale Reichweite geladener Teilchen gibt man, um ein dichteunabhängiges Maß zu gewinnen, in Flächendichte [g/cm²] an (Produkt aus Dichte [g/cm3] und Schichtdicke [cm]). Selbst hier ist die Angabe einer Halbwertsdicke [g/cm<sup>2</sup>] sinnvoll, da sie experimentell sicherer bestimmbar ist als die maximale Reichweite.

a-Strahlung, im wesentlichen auf Nuklide höchster Ordnungszahlen (> 82 = Pb) beschränkt, findet in der Funktionsdiagnostik praktisch keine Anwendung.

β-Strahlung weist, im Gegensatz zu α- und y-Strahlung, ein kontinuierliches Energie-



	α-Strahlung	$\beta$ -Strahlung	γ-Strahlung
Strahlungstyp	Korpuskel	Korpuskel	Wellen
Bestandteile	42He++-Ionen	e- Elektronen	el. magn. Quanten
Energiespektrum	Linien	kontinuierlich	Linien
Energiewerte [MeV]	4,39,0	$0,018R_{max}5,3$	0,0088,9
Max. Reichweite [mg/cm²]	514 Papier	0,92700 3 μ1 cm Al	entfällt
Halbwertsdicke [mg/cm²]		0,12560	13,520000

Tabelle 1. Energien, Reichweiten und Halbwertsdicken der Strahlungen radioaktiver Nuklide

spektrum auf. Die Maximalenergie entspricht der bei der Kernumwandlung stattfindenden Massenänderung. Zwischen ihr und der maximalen Reichweite besteht folgende Beziehung:

$$\begin{aligned} R_{\text{max}} &= 0.11 \; \left( \sqrt{1 + 22.4 \cdot E_{\text{max}}^2} \; -1 \, \right) \\ R_{\text{max}} \left[ g/\text{cm}^2 \right] \; E_{\text{max}} \left[ \; \text{MeV} \; \right] \end{aligned}$$

 $\beta$ -Teilchen mit geringerer Energie als  $E_{\rm max}$  sind weit häufiger. Man verwendet darum auch den Begriff "mittlere Energie", die für alle  $\beta$ -Strahler bei etwa  $^{1}/_{3}$   $E_{\rm max}$  liegt. Dieser Wert ist nur wenig höher als die Energie der Teilchen größter Häufigkeit.

kontinuierlichen Energiespektrum eines β-Strahlers können auch Linien überlagert sein, die von Elektronen diskreter Energie stammen. Das ist möglich, wenn das Nuklid gleichzeitig y-Strahlen aussendet und diese beim Durchdringen der Elektronenhülle - ähnlich dem photoelektrischen Effekt (S. 8) ihre Energie an ein Hüllenelektron übertragen, das dann mit der Energie des y-Quants, vermindert um die Bindungsenergie des Elektrons, das Atom verläßt. Man nennt dies innere Konversion. Der relative Anteil der Konversionselektronen zu den nichtkonvertierten y-Quanten ist in den Nuklidtabellen angegeben. Konversionselektronen sind von der Emission gleich vieler Ouanten der charakteristischen Röntgenstrahlung begleitet, die beim Auffüllen der Lücken in den Elektronenschalen in gleicher Weise entsteht wie beim K-Einfang.

Eine Sonderstellung nimmt die Positronenstrahlung ( $\beta^+$ ) ein. Die emittierten Partikel sind positive Elementarladungen (1,6 · 10<sup>-19</sup> Clb) und haben eine Ruhemasse wie die Elektronen (9,1 · 10<sup>-28</sup> g). Was sie von diesen unterschei-

det, ist ihre überaus geringe mittlere Lebensdauer von etwa 10-10 sec. Daher werden Reichweiten und Halbwertsdicken nicht angegeben. Positronen treten im Zusammenhang mit der durch Kernprozesse ausgelösten künstlichen Radioaktivität (auch Höhenstrahlung) auf. Die Energien, mit denen Positronen den Kern verlassen, liegen zwischen 0,15 und 16,6 MeV. Das Positron reagiert mit dem Elektron in eigenartiger Weise: die gegensätzlichen Ladungen gleichen sich aus und die Massen wandeln sich in elektromagnetische Strahlung um. Diese tritt meist in Gestalt zweier y-Quanten von je 0,51 MeV auf, die den Ort der "Zerstrahlung" in entgegengesetzter Richtung verlassen, seltener als 1 einziges Quant von 1,02 MeV. Der umgekehrte Prozeß ist die "Paarbildung", - die Umwandlung eines y-Quantes von mindestens 1,02 MeV in ein Elektron und ein Positron. Beide Prozesse haben auch in der nuklearmedizinischen Praxis einige Bedeutung.

Positronenstrahler sind Nuklide, die zu viele Protonen haben, demnach im Nuklid-Schema (Abb. 1) oberhalb der "Stabilitätsrinne" liegen. Der Ausgleich kann erfolgen, indem ein Positron aus dem Kern gestoßen wird, wobei sich die Ordnungszahl um 1 vermindert, die Masse dagegen nicht (isobarer Vorgang). So entsteht ein Isotop des Elementes mit nächstniedriger Ordnungszahl. Das Gleiche geschieht, wenn der Kern ein Elektron, meist aus der kernnächsten Elektronenschale (K) herausreißt und sich einverleibt (K-Einfang, englisch EC = electron capture). Die entstandene Lücke füllt sich mit einem Elektron der Umgebung auf (dabei Emission eines charakteristischen Röntgenquantes). Beides kann auch nebeneinander verlaufen (Beispiele: 52Mn, 57Ni).

γ-Strahlung tritt nur im Gefolge einer vorangegangenen Kernveränderung (meist Emission von Partikeln) auf, bei manchen Nukliden (reinen β-Strahlern) bleibt sie aus. Man kann sie als das Zurückfallen der Kernbausteine in eine energetischniedere Anordnung auffassen (Übergang aus einem "angeregten" in den "Grundzustand"). Dies kann in einem einzigen Schritt oder über Zwischenstufen erfolgen; oft bestehen auch mehrere solcher Möglichkeiten nebeneinander. Die meisten Nuklide strahlen γ-Quanten zusammen mit Partikeln ab, so daß

man beides zeitlich nicht trennen kann (Koinzidenz). Bei anderen wieder ist der angeregte Zustand länger lebensfähig. Man nennt dies "Kernisomerie" und das angeregte Nuklid "metastabil". Zur Kennzeichnung fügt man zur Massenzahl den Buchstaben m, z.B. 60mCo. Die anschaulichste Darstellung der bei einem Nuklid auftretenden Kernstrahlungen bietet sein Zerfalls-Schema. Die international maßgebliche Zusammenstellung findet sich in der "Table of Isotopes", (1967).

#### Gesetz des radioaktiven Zerfalls

So vielfältig die Erscheinungsformen der Kernumwandlungen sein mögen, sie folgen alle, was ihren quantitativen Verlauf betrifft, dem gleichen einfachen Gesetz. Es besagt, daß von jedem radioaktiven Nuklid in gleichen Zeitintervallen ein gleichbleibender Prozentsatz von Kernen zerfällt (Zerfallskonstante  $\lambda$  [%/min]).

In integrierter Form lautet das Zerfallsgesetz:

$$N_t = N_o \cdot e^{-\lambda t}$$

 $N_o$  und  $N_t$  Anzahl der radioaktiven Kerne zu 2 Zeitpunkten o und t.

Durch Multiplikation mit à erhält man:

$$A_t = A_o \cdot e^{-\lambda t}$$

 $A_0$  und  $A_t$  Anzahl der Zerfälle pro Zeit (Aktivität) zur Zeit o und t.

Die Einheit für die Aktivität ist das "Curie" (Ci):

Durch Einführung der Halbwertszeit  $T^1/_2=\frac{\ln 2}{\lambda}$  erhält man eine dem Praktiker angenehmere Form der Gleichung:

$$A_t = A_o \cdot \left( \frac{1}{2} \right) \ \frac{t}{T^{1/\!\!/_2}}$$

Somit beträgt die Aktivität nach  $t = 1 T\frac{1}{2}$  noch  $\frac{1}{2}$ , nach  $2 T\frac{1}{2}$  noch  $\frac{1}{4}$ , nach  $3 T\frac{1}{2}$  noch  $\frac{1}{8}$  usf.

-z.B. nach 10 T $^{1}$ / $_{2}$  noch  $^{1}$ / $_{1024}$ , also rund 1 Promille ihres anfänglichen Wertes.

Besonders die Verwendung kurzlebiger Nuklide zwingt zur Berichtigung aller Meßergebnisse auf einen festen, wenn auch beliebigen Zeitpunkt. 3 empfehlenswerte Methoden sind im Anhang (Tabelle 2) angegeben.

Der Aktivitätsverlauf von Nuklidgemischen, insbesondere von Mutter-Tochter-Systemen, folgt komplizierteren Gesetzmäßigkeiten, die von Batrman (1910) abgeleitet wurden und z.B. bei Schindewolf (1959) anschaulich dargestellt sind. Wegen ihrer praktischen Bedeutung im medizinischen Bereich ("Melk-Systeme") seien einige Mutter-Tochter-Nuklide aufgeführt:

In diesen Fällen ist das Mutternuklid längerlebig als das Tochternuklid. Auch das Umgekehrte kommt vor, hat aber hier keine praktische Bedeutung. Der Aktivitätsverlauf des 3. Beispiels ist in Abb. 2 dargestellt.

Die Aktivität des <sup>140</sup>Ba verläuft in halblogarithmischen Koordinaten als fallende Gerade (3), die bei 100% beginnt. Die des <sup>140</sup>La (2) steigt von dem (nicht darstellbaren) Wert 0 steil an, schneidet die Kurve der Mutter nach

mehreren Halbwertszeiten und erhebt sich sodann darüber, um schließlich in einen dazu parallelen Verlauf einzumünden. Danach fällt die Summenkurve (1) wie die des längerlebigen Mutter-Nuklids. Im *radioaktiven Gleichgewicht* (Schnittpunkt) zerfallen ebensoviele Tochterkerne, wie nachgebildet werden. Hier liegt zugleich das Maximum der Tochterkurve. Bei genügend langlebigem Mutternuklid (T¹/2M:T¹/2T > 100) darf man sagen, daß Mutter und Tochter von da an etwa gleich hohe Aktivität haben, die Summenaktivität also das Doppelte der einen von beiden beträgt.

Auch der andere Fall ist denkbar: ein kürzerlebiges Mutternuklid bringt ein längerlebiges
Tochternuklid hervor. Hier fällt die Zerfallskurve der Mutter zunächst steil ab, bis das
längerlebige Tochternuklid in Erscheinung
tritt, die Mutterkurve schneidet und dann gemäß der ihm eigenen, längeren Halbwertszeit
abfällt, so daß schließlich das Tochternuklid
allein übrigbleibt.

In beiden Fällen setzt sich nach einigen Halbwertszeiten der kürzerlebigen Komponente ein Verlauf der *Summenkurve* durch, der dem des jeweils *längerlebigen* Nuklides entspricht.

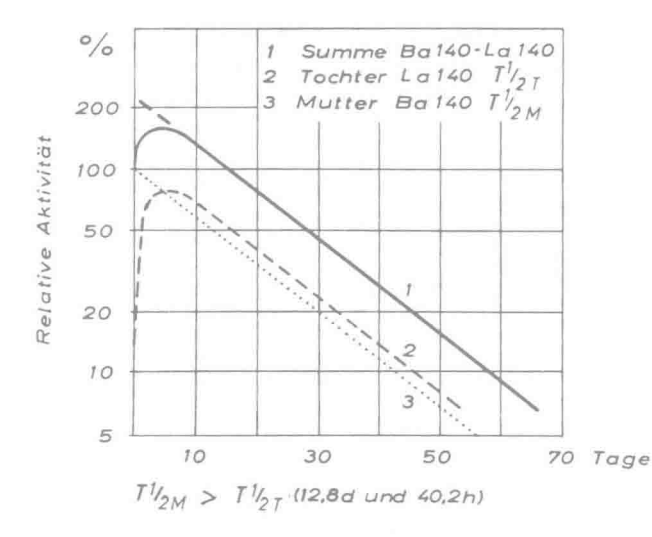


Abb. 2. Verlauf der Aktivitäten eines Mutter-Tochter-Nuklides (nach Overman u. Clark, 1960)

#### Strahlung und Materie

Jede Strahlung wird beim Durchgang durch Materie geschwächt. Während Korpuskeln ihre anfängliche Energie vorwiegend durch Zusammenstöße mit Atomen des Absorbers einbüßen, bis ihr Energievorrat aufgezehrt ist, werden die Quanten der y-Strahlung vor allem aus ihrer anfänglichen Richtung gestreut, auch durch Energieumwandlung (Ionisation, Anregung, Licht, Molekülspaltung, Wärme) geschwächt. Hieraus ergibt sich ein praktisch bedeutsamer Unterschied. Korpuskeln werden in Materie völlig absorbiert, so daß man ihre maximale Reichweite angeben kann, Deren Kenntnis ist für den praktischen Strahlenschutz von Wichtigkeit. Zum anderen stellt diese Größe ein ausgezeichnetes, weil leicht nachprüfbares

Charakteristikum für Art und Energie (Härte) der Strahlung dar. Für Röntgen- und y-Strahlung existiert keine maximale Reichweite, da der Quantenstrom in Materie eine Schwächung erfährt, die dem Lambert-Beer-Gesetz, einer Exponentialfunktion, folgt (S. 8). Somit kann diese Strahlung zwar beliebig geschwächt, doch nie auf den Wert 0 gebracht werden. Als praktisches Maß für ihre Durchdringungsfähigkeit wurde die Halbwertsdicke (auch Halbwertsschicht genannt) eingeführt. Das ist diejenige Materialschicht, die eine Strahlung gerade auf die Hälfte ihrer anfänglichen Intensität schwächt. Zu ihrer Kennzeichnung sind Art und Dicke des Absorbers anzugeben. Vielfach wird hierfür auch die Flächendichte FD verwendet, die

von Materialkonstanten unabhängig ist und das Produkt aus Materialdichte [g/cm³] und Schichtdicke [cm] darstellt. So entspricht etwa 1 mm Al einer FD von 2,7 g/cm³  $\times$  0,1 cm = 0,27 g/cm².

a-,  $\beta$ - und  $\gamma$ -Strahlen werden in Materie sehr verschieden stark absorbiert. Für die bei radioaktiven Nukliden vorkommenden Energiebereiche sind in Tabelle 1, S. 4. Werte für maximale Reichweiten bzw. Halbwertsdicken zusammengestellt.

Vielfach wird übersehen, daß auch β-Strahlung elektromagnetische Strahlung auslöst, wenn sie auf Material hoher Ordnungszahl trifft, z.B. Metalle. Die hierbei entstehenden Röntgenstrahlen bestehen aus 2 Anteilen: einer charakteristischen Strahlung und einer Bremsstrahlung. Die charakteristische Strahlung ist monochromatisch (Moseley-Gesetz). Die Bremsstrahlung entsteht aus der beim Aufprall eintretenden Verzögerung der Elektronen, deren Energieverteilung allein von der Elektronenenergie, nicht aber vom Material abhängig ist (Duane-Hunt-Gesetz).

Weitere Anteile eines γ-Untergrundes haben ihre Ursache in der durchdringenden Höhenstrahlung, die durch eine von der Sonne ausgehende Protonenstrahlung in der Atmosphäte ausgelöst wird, sowie in der Umgebungsstrahlung. Unter diesem Begriff faßt man alle Strahlungen zusammen, die von natürlich und künstlich radioaktiven Bestandteilen in Boden, Luft, Baustoffen, selbst dem Abschirmungsmaterial sowie von benachbarten Quellen ausgehen. Die Ausschaltung solcher Störquellen ist in der nuklearmedizinischen Diagnostik um so mehr von Bedeutung, als man mit geringstmöglichen Aktivitäten auszukommen sucht (Herabsetzung der Strahlenbelastung).

Da alle Korpuskularstrahlen ein sehr geringes Durchdringungsvermögen in Materie haben, eignen sich  $\beta$ -Strahler nicht zur Verfolgung inkorporierter Aktivität von der Körperoberfläche her, wohl aber zur Messung an entnommenen Proben von Geweben, Körperflüssigkeiten und -ausscheidungen.  $\alpha$ -Strahlen haben zu geringe Reichweiten.  $\beta$ -Strahlen vergleichbarer Energie dringen, wie Tab. 1, S. 4 zeigt, nur wenig tiefer in Materie ein (in mensch-

lichem Gewebe und Wasser 9  $\mu$  bis 2,7 cm). Für Elektronen aus Teilchenbeschleunigern liegen die Werte etwas höher (vgl. Tab. 2).

Bei Aktivitätsmessungen an nicht "unendlich dünnen" Präparaten zwingt die hohe Absorbierbarkeit aller Korpuskularstrahlen dazu, die "Selbstabsorption" zu berücksichtigen und alle Meßwerte entsprechend zu korrigieren. Näheres entnehme man den Lehrbüchern, etwa Faires – Parks (1961).

Bei der Verwendung der  $\gamma$ -Komponente von  $\beta+\gamma$ -Strahlern, zu denen die meisten in der Medizin benutzten Radionuklide gehören, ist es andererseits leicht, die unerwünschte Korpuskularkomponente durch Vorschalten von Materialfolien von der Flächendichte der maximalen Reichweite auszufiltern. Tabelle 2 enthält die maximalen Reichweiten für 5 über den gesamten Energiebereich verteilte  $\beta$ -Strahler, zugleich in Schichtdicken für Wasser bzw. Gewebe.

Tabelle 2. Eindringtiefen von Elektronen und  $\beta$ -Teilchen in Wasser bzw. Gewebe

Nuklid	$E\beta_{max}/E_e$	maximale Eindring-	Halb- werts-
	[MeV]	tiefe [mm]	dicke [mm]
		1	[]
3H	0,0186	0,009	0,0012
14C	0,158	0,31	0,028
<sup>90</sup> Sr	0,54	1,6	0.18
32P	1,71	8,1	1,00
90 Y	2,27	11,1	1,55
aus Teilchen-	5	24	-
beschleu-	10	47	
niger	15	71	
(Energie E <sub>e</sub> )	30	143	
	50	240	

Wegen der geringen Masse der  $\beta$ -Teilchen ( $m_{\beta}: m_{\alpha} = \text{rund 1}: 7500$ ) sind deren Bahnen in Materie vielfach geknickt, ihre *Streuung* also groß. Bei völliger Richtungsumkehr spricht man von *Rückstreuung*. Das Rückstreuvermögen einer Materialschicht ist von ihrer Dicke, von der Ordnungszahl der beteiligten Elemente und der  $\beta$ -Energie abhängig. Darauf basieren technische Dickenmeßverfahren. Doch auch für die Messung biologischer Präparate ergibt sich